文章编号: 1674 - 7054(2015) 03 - 0261 - 08

## 野油菜黄单胞菌的 XopR 基因功能

### 张巧玲 戎 伟 李慧萍 林道哲 何朝族

(海南大学 海南省热带生物资源可持续利用重点实验室 海南 海口 570228)

摘 要: 野油菜黄单胞菌野油菜致病变种( $Xanthomonas\ campestris\ pv.\ campestris\ ,Xcc$ ) 是一种能够引起十字 花科植物产生黑腐病的重要病原菌。笔者以野油菜黄单胞菌 Xcc8004 菌株 XopR 基因为研究对象 ,通过 qRT-PCR 发现 XopR 基因的表达受 III 型调控基因 hrpG 和 hrpX 的调控 ,并且 XopR 蛋白的分泌依赖于 III 型分泌系统结构基因 hreV ,这表明 XopR 是 Xcc8004 的一个 III 型分泌效应蛋白。利用同源重组的方法,笔者获得了 XopR 基因的缺失突变体  $\Delta XopR$ 。将野生型 Xcc8004 和  $\Delta XopR$  突变体分别接种甘蓝品种中甘 15、中甘 21 和大白菜品种中白 83 发现  $\Delta XopR$  突变体菌株致病性下降,表明 XopR 对于 Xcc8004 在甘蓝上的完整毒性是必须的。 GFP 融合蛋白分析发现 XopR 定位于拟南芥原生质体的细胞膜上,可以在拟南芥原生质体中抑制细菌鞭毛蛋白诱导的 FRK1 基因表达。

关键词: Xcc8004; Ⅲ型分泌系统; XopR

中图分类号: S 432.42 文献标志码: A DOI: 10. 15886/j. cnki. rdswxb. 2015. 03. 007

自然界中 植物对大多数微生物表现出抗病性 植物的抗病性主要由2个层次的先天免疫反应完成, 第1个层次的先天免疫反应是病原物相关分子模式或微生物相关因子( Pathogen-associated or Microbe-associated Molecular Patterns) 激活的先天免疫(PAMP-or Pattern-Triggered Immunity,PTI) ,这类免疫反应主 要包括植物细胞内各种离子的交换、活性氧的爆发、一氧化氮的生成、MAPK( Mitogen-activated protein kinase) 和 CDPK (calcium-dependent protein kinase) 的激活、蛋白的磷酸化以及大量与防卫反应相关基因(如 FRK1) 的表达。第2个层次的免疫反应是一种更为强大的免疫反应 ,又称为超敏反应( Hypersensitive response) ,它是由植物的抗病基因(Resistance gene) 识别病原菌的效应蛋白后所介导的免疫反应(Effector-Triggered Immunity, ETI) 这类免疫反应通常伴随着侵染部位的细胞程序化死亡[1-2]。野油菜黄单胞菌 野油菜致病变种(Xanthomonas campestris pv. Campestris , Xcc) 是一种能够引起包括甘蓝、萝卜、花椰菜以 及模式植物拟南芥在内的所有十字花科植物产生黑腐病的重要病原菌。在温暖、湿润的气候中 Xcc 生长 迅速 因此 Xcc 引起的黑腐病在热带、亚热带以及湿润的大陆地区非常严重 $^{[3]}$ 。在 Xcc 与宿主植物的相 互作用过程中 Xcc 可以通过Ⅲ型分泌系统(Type Ⅲ Secretion System, TTSS)将效应蛋白分泌到宿主细胞 内 抑制宿主的 PTI 和 ETI 从而完成 Xcc 在宿主植物体内的侵染和繁殖。目前 Xcc 菌株中 Xcc8004, Xcc33913 和 XccB100 基因组测序工作已完成 并且通过生物信息学预测发现 Xcc 中含有 27 个效应蛋白。 在这些效应蛋白中, 功能了解比较清楚的主要有 AvrXccC , AvrAC , XopN 和 XopD 等 ,其余效应蛋白的功能 及在植物体内的靶标还有待进一步研究[4-7]。

在黄单胞菌属中 XopR 是一个保守的蛋白 ,并预测是一个 III 型分泌效应蛋白。在水稻白叶枯病菌  $Xoo13951(Xanthomonas\ oryzae\ pv.\ oryzae\ , Xoo)$  和 XooMAFF311018 中 ,XopR 被证明是 Xoo 的一个 III 型分 XopR 基因的缺失导致 Xoo 在水稻上的致病能力下降 Iii 。 研究发现 在  $XopR_{XooMAFF311018}$  转基

收稿日期: 2015-01-30

基金项目: 海南大学青年基金资助项目(qnjj1204);海南省自然科学基金资助项目(314043)

作者简介: 张巧玲(1989 – ) ,女 ,海南大学农学院 2012 级硕士研究生. E-mail: 123557859@ qq. com

通信作者: 戎伟(1978 – ) ,男 ,讲师. 研究方向: 植物与病原微生物相互作用. E-mail: rongwei13@ 126. com

因拟南芥植株中, $XopR_{XooMAFF311018}$ 能够抑制 MAMP 诱导的早期防卫基因(At1g51890,At2g17740,FRK1 和 At5g57220)的表达以及细菌鞭毛蛋白 N 端 22 个氨基酸组成的多肽 flg22( flagellin 22)诱导的胼胝体沉积  $^{[10]}$ 。Xcc 小种 8004 中含 XopR 基因,但 XopR 基因是否作为 III 型分泌效应因子发挥功能尚不清楚。笔者以野油菜黄单胞菌 Xcc8004 菌株候选 III 型效应蛋白 XopR 为研究对象 利用 qRT-PCR 检测了 XopR 基因的转录表达,Western Blot 检测了 XopR 蛋白的分泌,证实了 XopR 蛋白是 Xcc8004 的一个 III 型分泌效应因子。通过同源重组方法获得 Xcc8004 的 XopR 基因缺失突变体,并对 XopR 蛋白的毒性功能及植物亚细胞定位进行了分析 表明 XopR 蛋白定位在植物细胞膜上及在甘蓝、大白菜中发挥毒性功能。进一步在拟南芥原生质体中瞬时表达 XopR 蛋白,出现 2 条特异的条带,这为进一步研究 XopR 蛋白的功能提供了很好的线索。

#### 1 材料与方法

1.1 供试菌株、植物材料、试剂 Xcc8004~hrpG~Tn5gusA5 转座子插入突变体  $\Delta hrpG~hrpX~Tn5gusA5$  转座子插入突变体  $\Delta hrpV~hrpV$  基因敲除突变体  $\Delta hrpV~hv$  机南芥 Col-0 生态型由海南省热带生物资源可持续利用重点实验室保存。甘蓝品种(京丰一号、中甘 15、中甘 16、中甘 21) 和大白菜(中白 83) 购自中国农业科学院蔬菜花卉研究所。限制性内切酶购自 NEB 公司  $T_4$  DNA 连接酶、反转录试剂盒购自  $T_4$   $T_4$   $T_5$   $T_6$   $T_6$   $T_8$   $T_8$ 

表1 引物信息

 引物名称	引物序列(5′→3′)	引物用途
Primer name	Sequence of Primers(5´→3´)	Function
XopR-QF	CCA GAA CAT GCT TGC GT	qRT-PCR
XopR-QR	GTT GTC GAT TGC CTC TTG AT	qRT-PCR
gyrB-F	GCGACGATTTCCACTACG	qRT-PCR
gyrB-R	CCTTCTGCGGGATGTTATTG	qRT-PCR
268-FF	GCA CAT CCG CAC GCC GTA CT	XopR gene knockout
268-FR	GCA GGT GAT TCG CAG CAA GGG A	XopR gene knockout
268-RF	CGC CTG TCG CTC CTG CTC TC	XopR gene knockout
268-RR	CC AGC AAC AGC CCC AAC CAG	XopR gene knockout
268-F	ATG CGC CTG AGT CAG TTG TT	Amplification of XopR
268-R	GTAGTAGCCGTTGTCGATTGCC	Amplification of XopR

Tab. 1 Primer sequence

- 1.2 基因操作 质粒 DNA 用碱裂解法提取、限制性内切酶酶切、DNA 的连接转化、Western 杂交、细菌总 DNA 的快速提取、细菌总 RNA 提取等均按 Sambrook 方法[11]或参照产品说明书进行。
- 1.3 RNA 提取、反转录 PCR 及荧光定量 PCR Xcc8004 hrpG 插入突变菌株 hrpX 插入突变菌株 hrpG 突变体互补菌株 hrpG 于 hrp 诱导培养基  $MMXC(10.5~g \cdot L^{-1}~K_2HPO_4~, 4.5~g \cdot L^{-1}~KH_2PO_4~, 10~mmol \cdot L^{-1}葡萄糖 , 10~mmol \cdot L^{-1}果糖 , 4~mmol \cdot L^{-1}谷氨酸钠 , 0.03% Casamino Acid) 中 <math>28$  ℃ 培养至  $OD_{600} = 0.5$  后,各菌株总 RNA 提取采用 TRIZOL( Gibco BRL) 一步法提取 ,用 DNaseI( Invitrogen) 处理以消除 RNA 样本中的 DNA 污染。 反转录采用 RevertAidTM First Strand cDNA Synthesis Kit( Fermentas) 进行反转录,具体操作规程参照试剂盒说明书进行,得到的 cDNA 样本于 -20 °C 保存,用于荧光定量 PCR。

采用 SYBR ® Premix Ex  $Taq^{TM}$  II (Perfect Real Time) (Takara) 和 ABI 7 500 Real Time PCR System (Applied Biosystems, USA) 进行实时荧光定量 PCR。反转录后的 cDNA 样品经 10 倍稀释作为实时定量 PCR 工作液。反应体系参照产品说明书。

反应条件采用 2 步法 条件如下: 95  $^{\circ}$   $^{\circ}$  95  $^{\circ}$   $^{\circ}$  变性 5  $^{\circ}$  60  $^{\circ}$  退火延伸 34  $^{\circ}$  在延伸阶段检测荧光强度 收集信号 40 个循环。熔解曲线: 加热样品从 60  $^{\circ}$   $^{\circ}$   $^{\circ}$   $^{\circ}$   $^{\circ}$  海隔 0.5  $^{\circ}$  停留 1  $^{\circ}$  检测 1 次 荧光强度变化。

- 1.4 XopR 分泌检测 利用 PCR 的方法将 6 × His tag 融合到 XopR 的 C 端 ,使用 Kpn I 和 EcoR I 连接到 pHM1 载体上 ,并通过三亲结合方法将其导入野生型 Xcc8004 以及 ΔhrcV( hrcV 缺失突变体) 中 ,获得 Xcc8004-RC 及 hrcV-RC。各菌株中 XopR 蛋白诱导分泌方法参照王立峰方法<sup>[4]</sup> 进行。蛋白利用 SDS-PAGE 电泳分离 ,用 Anti-His 抗体和 Anti-GroEL 进行 Western Blot 检测。
- 1.5 基因缺失突变体构建 根据 Xcc8004 基因组序列设计引物 268-FF 268-FR 以及 268-RF 268-RR(引物序列见表 1),以 Xcc8004 基因组 DNA 为模板分别扩增 XopR 基因(XC\_0268) 上游 554 bp 片段以及下游 611 bp 片段 在两个片段上分别添加限制性酶切位点 EcoRI、BamHI 以及 BamHI、Hind 11 。通过 EcoRI、BamHI 以及 BamHI、Hind 11 将这两个片段连接到重组 Knockout 载体自杀质粒 pK18mobSacB 上 热激转化 大肠杆菌 DH5 $\alpha$  获得重组载体 pK18R 测序正确后保存。通过三亲结合法获得敲除突变体参照文献 [12] 突变体利用 268-FF 和 268-RR 引物能够扩增出 1 165 bp 大小片段 但野生型 Xcc8004 无法扩增得到相对应片段大小。
- 1.6 互补菌株的构建 PCR 扩增 XopR 全长序列(1 236 bp) 通过 Kpn [和 EcoR ]连接到互补载体 pHM1 上。将其热激转化大肠杆菌 DH5 $\alpha$  后 通过三亲结合的方法导入突变体当中 获得突变体互补菌株。
- 1.7 致病性检测及细菌生长 采用剪叶法  $^{[12]}$  进行致病性检测。供试植物为甘蓝京丰一号、中甘 15、中甘 16、中甘 21 以及大白菜中白 83。将菌液浓度调整至  $OD_{600}=0.1$ 。用灭菌剪刀蘸取菌液剪掉四周大完全展开叶片尖端 加盖保湿 24 h。1 周左右可出现明显病症 10 d 拍照记录。细菌生长实验 在接种后 2 h,取伤口处组织(0.5 cm  $\times 2$  cm) 研磨稀释相应倍数后涂于 NYG 平板上 2 h 后统计平板菌落数目作为 0 d 样品 5 d 后再次取样统计生长差异。
- 1.8 拟南芥原生质体制备与转化 拟南芥原生质体提取方法参照文献 [13]。取  $4 \sim 5$  周大拟南芥叶片快速切成细丝于酶解液中酶解完全。室温 100~g 离心 2~min 100~g 离心 2~min 100~g 溶液洗涤后 100~g 冰上放置 100~g 不分离次 溶液洗涤后 100~g 不分离 1
- 1.9 荧光素酶双报告系统分析 [13] 提取拟南芥原生质体 将携带有 XopR 基因的 XopR-FLAG 质粒 10  $\mu g$  FRK1::LUC 质粒 5  $\mu g$  35S::RLUC 质粒 100 ng 一起转化进入拟南芥原生质体中 ,弱光培养过夜。加入  $1\times 10^{-6}$  mol L  $^{-1}$  的 flg22 室温诱导 3 h。 收集原生质体 ,加入 passive Lysis Buffer 提取蛋白。按照 Daul–Luciferase Reporter Assay System (Promega) 使用手册进行 LUC 活性测定。
- 1.10 GFP 细胞定位 将构建好的 pUC-R-GFP 质粒转化拟南芥原生质体 ,室温弱光过夜培养。吸取适量原生质体到单凹载玻片上 在激光共聚焦显微镜(Leica TCS sp8) 上 ,用 488 nm 发射波长 525 nm 激发波长观察绿色荧光在植物细胞内的分布情况。

### 2 结果与分析

- 2.1 XopR 基因转录受 HrpG 和 HrpX 的调控 在黄单胞菌中,III 型分泌效应因子的转录受 HrpG 和 HrpX 的调控。HrpX 可以结合 III 型效应因子启动子区域的 PIP box( plant-inducible-promter box) 和 10 box 来启动基因的转录<sup>[14]</sup>。在 XopR 基因的启动子区域也发现了完美的 PIP box 和 10 box ( TCGGeegegegegegegggTTCGC-N30-TACTAT),这就说明 XopR 很有可能受到 HrpX 的调控。为了检测 XopR 转录是否受到 HrpG 和 HrpX 的调控 笔者以 gyrB 为内参基因进行了荧光定量 PCR 检测 XopR 基因在野生型、hrpG 突变体/互补、hrpX 突变体的基因表达情况。结果表明 XopR 在 hrpX 的突变体中,它的转录表达会比在野生型中显著的下降,当 hrpG 突变得到互补时,其转录表达又会恢复到正常的水平(图 1)。这说明 XopR 的转录是受 HrpG 和 HrpX 调控的。
- 2.2 XopR 蛋白分泌依赖于 *Xcc*8004 **Ⅲ**型分泌系统 为了分析 XopR 蛋白是否通过Ⅲ型分泌系统分泌,

将  $6 \times \text{His}$  tag 融合到 XopR 的 C 端,连接到 pHM1 载体上,并通过三亲结合方法将其导入野生型 Xcc8004 以及 III 型分泌系统结构基因 hreV 缺失突变体  $\Delta hreV$  中,获得 Xcc8004 -RC 及 hreV-RC。菌株首先于丰富培养基 NYG 中培养后转接于 hrp 分泌诱导培养基 SMMXC 中培养 利用 Anti-his 抗体免疫印迹检测细胞裂解液中全蛋白以及细胞培养液中分泌蛋白的表达情况。结果显示在全蛋白中均能发现 XopR 的表达,对于胞外分泌,笔者在 Xcc8004 -RC 中能够检测到 XopR 的正常分泌,但是在 hreV 突变体中不能够检测到。这意味着 XopR 蛋白是通过 Xcc8004 III 型分泌系统分泌的(图 2)。

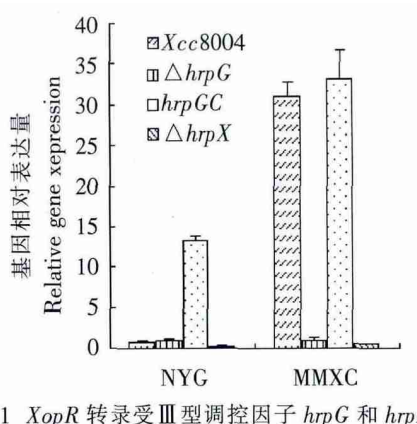


图 1 XopR 转录受Ⅲ型调控因子 hrpG 和 hrpX 调控 荧光定量 PCR 分析 XopR 基因在诱导培养基及丰富 培养基中 Xcc8004, ΔhrpG(hrpG 突变体), hrpGC(hrpG 突变 体互补菌株)以及 ΔhrpX(hrpX 突变体)菌株中的转录情况 Fig.1 Transcription of XopR is regulated by hrpG and hrpX

Real time PCR analysis of XopR transcription in Xcc8004,  $\Delta hrpG(hrpG$  mutant), hrpGC (hrpG mutant complementary strain), and  $\Delta hrpX$  (hrpX mutant) strains in hrp-inducing medium MMXC and rich medium NYG

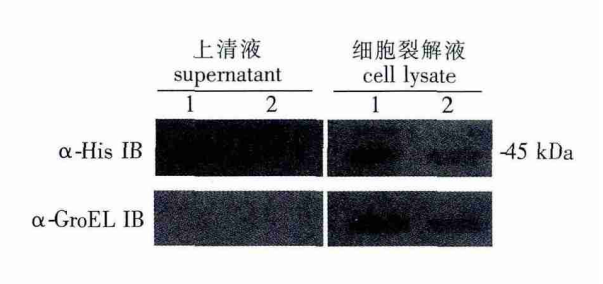


图 2 XopR 蛋白的分泌依赖于 Xcc8004 III 型分泌系统

1: Xcc8004-RC; 2: hrcV-RC; anti-GroEL 抗体用于检测在蛋白提取过程中细菌细胞有无渗漏

Fig.2 The secretion of XopR is type III secretion system dependent

1: Xcc8004-RC; 2: hrcV-RC; anti-GroEL antibody to show that bacterial lysis had not occurred

2.3 XopR 基因缺失突变体以及互补菌株的构建 为了获得 XopR 基因缺失突变体 笔者将 XopR 基因上 游 554 bp 以及下游 611 bp 片段分别引入酶切位点 EcoRI ,BamHI 及 BamHI 和 HindⅢ进行扩增 ,通过 EcoRI BamHI 和 Hind Ⅲ将这两个片段连接到重组 Knockout 载体 pK18mobSacB 上 获得重组载体 pK18R。 然后将 pK18R 载体通过三亲结合的方法导入 Xcc8004 中 利用 pK18R 与 Xcc8004 中的同源序列进行基因 重组 在同源重组中由于同源双交换获得 XopR 基因缺失突变体。利用 268-FF 和 268-RR 引物进行 PCR验证  $\mathbf{P}$  阳性克隆应为 1 165  $\mathbf{p}$  (图 3)。回收  $\mathbf{P}$  CR 产物片段送样测序 验证正确。确认得到突变体  $\mathbf{\Delta} X \mathbf{op} R$ 。 2.4 XopR 对于 Xcc8004 在甘蓝和中白 83 上的完整毒性是必须的 研究报道 Xoo 中的 XopR 基因在寄 主植物上发挥毒性功能<sup>[8-9]</sup> ,为了确定该效应蛋白对于 Xcc8004 在寄主植物的致病性是否产生影响,笔者 将野生型 Xcc8004  $\Delta XopR$  菌株和互补菌株 XopRC 分别在甘蓝品种京丰一号、中甘 15、中甘 16 以及中甘 21 这 4 个品种上进行剪切接种实验,同时也在大白菜品种中白 83 中进行实验。结果显示,接种 10 d 后 , 中甘 15 和中甘 21 接种野生型 Xcc8004 能够导致甘蓝的严重致病,出现典型的 V 字型病斑,而接种 XopR基因缺失突变体  $\Delta XopR$  致病性显著下降 ,互补后致病性能力得到恢复。然而在京丰一号以及中甘 16 的 接种实验中 接种突变体  $\Delta ext{XopR}$  致病性能力下降并不明显( 图 4) 。说明  $ext{XopR}$  对  $ext{Xcc8004}$  在甘蓝上毒性 是必须的 但同时也表明该毒性贡献是有品种选择性的。在中白 83 致病性实验中 接种了  $\Delta XopR$  后其致 病性显著下降 接种 XopRC 后该致病性得到恢复 ,说明 XopR 对 Xcc8004 在中白 83 上毒性是必须。细菌 生长实验也得到相同结果(图5)。

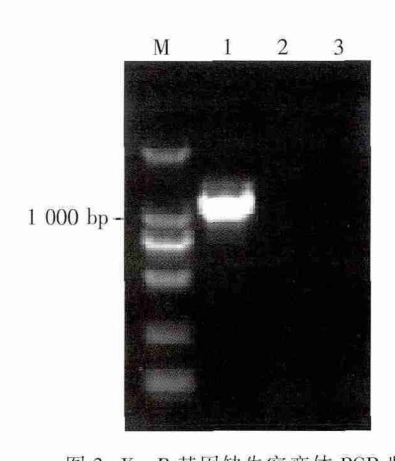


图 3 XopR 基因缺失突变体 PCR 鉴定 1:XopR 基因缺失突变体;2:Xcc8004; 3:H<sub>2</sub>O;M:DL2 000 DNA marker Fig.3 PCR verification of XopR gene deletion mutant

1:XopR gene deletion mutant; 2: Xcc8004; 3:H<sub>2</sub>O; M:DL2 000 DNA marker

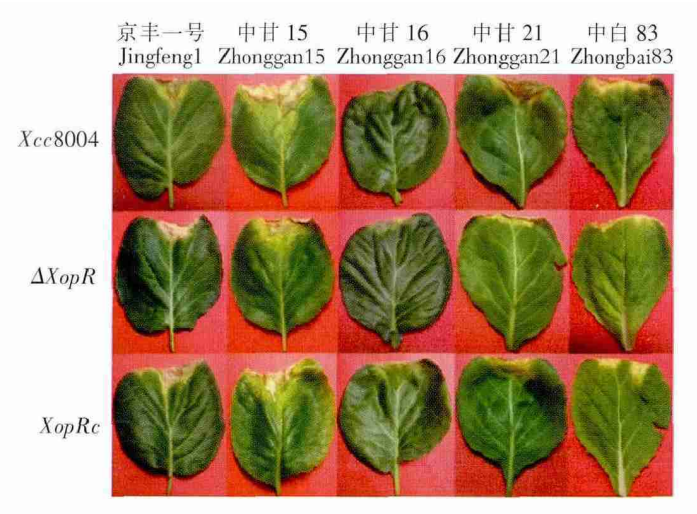


图 4 ΔXopR 在甘蓝和大白菜上的致病性检测利用剪刀剪切接种方法,分别在甘蓝京丰一号、中甘 15、中甘 16,中甘 21 及大白菜中白 83 上接种,野生型 Xcc8004,ΔXopR 菌株和互补菌株 XopRC,接种 10 d 后,拍照观察发病情况

Fig.4 Pathogenicity analysis of  $\Delta X$ opR on cabbage and Chinese cabbage cultivars

WT Xcc8004, ΔXopR and XopRC strains were inoculated respectively on Cabbage of Jingfeng1, zhonggan15, zhonggan16, Zhonggan21 and Zhongbai83. The photographs were taken on 10 days postinoculation

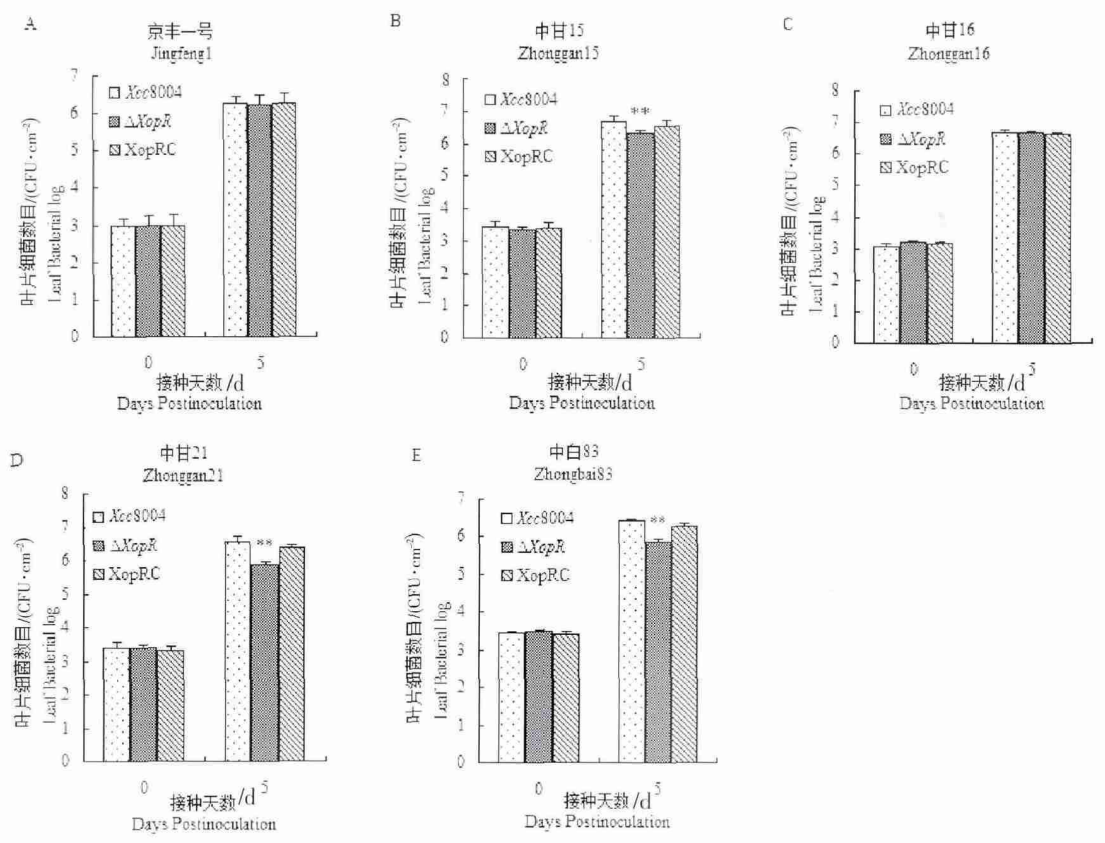


图 5 接种 Xcc 植物叶片的细菌生长

在京丰一号(A)、中甘15(B)、中甘16(C)、中甘21(D)、中白83(E)接种 $\Delta XopR$ 、Xcc8004、XopRC,5 天后取样检测细菌数目(mean + s. d.; n > 6; \*\* P < 0.01, Students t-TEST)

Fig. 5 Growth of bacteria in inoculated leaves of Xcc

Xcc8004,  $\Delta XopR$ , XopRC were inoculated on Jingfengl(A), Zhonggan15(B), Zhonggan16(C), Zhonggan21(D) and Zhongbai83(E). Bacterial CFU was counted after 5 days incubation. (mean + s. d.; n > 6; \* \* P < 0.01, Students t-TEST)

2.5 效应蛋白 XopR 在拟南芥原生质体中抑制 flg22 诱导的 FRK1 基因表达 为了进一步研究 XopR 在 Xcc8004 侵染植物过程中的功能 笔者对 XopR 是否抑制 PTI 通路进行了分析。拟南芥 PTI 通路的标志基因 FRK1 (Flagellin receptor kinase1) 能够被 flg22 激活表达  $^{[15]}$ 。利用 FRK1 启动子驱动的 FRK1 :: LUC 荧光素酶报告系统可以检测 XopR 是否影响 PTI 下游的信号通路。为了检测 XopR 是否对鞭毛蛋白诱导的 FRK1 基因的表达有抑制作用 笔者将 FRK1 :: LUC 和 XopR-FLAG 共转化拟南芥原生质体 表达过夜后,分别用  $H_2O$  和 flg22 进行处理。利用双荧光素酶报告系统检测 LUC 活性来分析 FRK1 基因的表达变化。结果表明 flg22 可以有效诱导拟南芥原生质体 FRK1 :: LUC 的表达 .但是将 35S 启动子驱动的 XopR-FLAG 质粒转入细胞中后抑制了 FRK1 :: LUC 的表达 .说明 XopR 的组成型表达可以抑制 PTI 下游基因表达(图 6)。2.6 XopR 定位在植物细胞膜上 为了验证 XopR 在植物细胞中的亚细胞定位 .笔者构建了绿色荧光蛋白(GFP) 表达载体: pUC-GFP(表达 GFP 蛋白) .pUC-R-GFP(表达 XopR-GFP 融合蛋白)。将载体 pUC-GFP 和 pUC-R-GFP 分别转化拟南芥原生质体细胞 .过夜表达后通过激光共聚焦显微镜观察融合蛋白的定位。从图 7 中可以看出 转化有 XopR 的处理中 .绿色荧光特异性的分布于拟南芥细胞膜上 .而对照组中整个拟南芥的细胞都充满了绿色荧光 .说明 XopR 定位于拟南芥细胞膜。

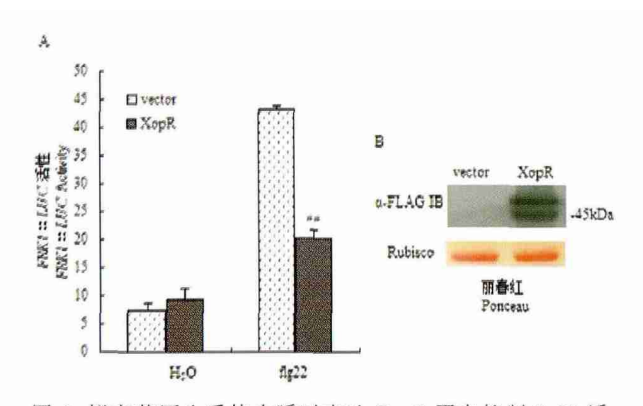


图 6 拟南芥原生质体中瞬时表达 XopR 蛋白抑制 flg22 诱导的 FRK1:: LUC 报告基因的表达

A:在拟南芥原生质体中分别转入空的表达载体和 XopR-FLAG,用 flg22 和  $H_2O$  诱导处理 3h 后荧光素酶双报告系统观察 FRKI:LUC 基因的表达

B:用 FLAG 抗体 Western 检测样品中 XopR-FLAG 蛋白的表达情况, 丽春红染色显示样品的上样量

Fig.6 Transient expression of XopR in protoplasts inhibits flg22-induced FRK1::LUC transcription

A:The expression of PTI marker gene FRK1 was measured by dual luciferase repoter system in Arabidopsis protoplasts with empty vector or XopR-FLAG, induced by  $H_2O$  and flg22 respectively for 3 hours. FRK1 :: LUC activity was determined B:The expression of XopR was detected by anti-FLAG immunoblot. Poncean staining of Rubisco protein is shown for equal loading

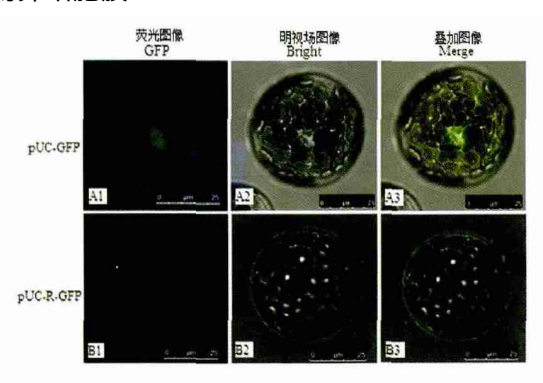


图 7 拟南芥原生质体中 XopR 的亚细胞定位

将自由表达 GFP 的 pUC-GFP(A1-A3)质粒和融合表达 XopR-GFP 的 pUC-R-GFP(B1-B3)转化拟南芥原生质体,通过激光共聚焦显微镜观察荧光的分布情况。左边图像是荧光图像,中间图像是明视场图像,右边图像是明场和荧光图像的叠加

Fig.7 Subcellular localization of XopR in Arabidopsis protoplasts

pUC-GFP(expressing free GFP, A1-A3)and pUC-R-GFP (expressing XopR-GFP fusion protein, B1-B3) were transfornated into *Arabidopsis* protoplasts and the fluorescence images were taken under a confocal laser microscopy in dark field for green fluorescence (left panel), in white field for the cell (middle panel), and merged view of left and middle panels (right panel), respectively

#### 3 讨论

本研究通过荧光定量 PCR 分析野油菜黄单胞菌 XopR 基因在基础培养基及诱导培养基中的表达情况 发现 XopR 的转录受 Xec8004 III 型调控蛋白 HrpG HrpX 正向调控 并且 XopR 的分泌依赖于 III 型分泌系统结构基因 hreV。结果表明 XopR 是作为 Xec8004 III 型分泌效应蛋白来发挥功能的。笔者进一步利用 Knockout 载体 pK18mobSacB 进行同源重组获得野油菜黄单胞菌 Xec8004 XopR 基因缺失突变体 XopR 现病性分析 表明在甘蓝品种中甘 XopR 和中甘 XopR 到病性显著下降 XopR 是有的现象,但在京丰一号以及中甘 XopR 与野生型相比无明显差异 XopR 对 XopR 对 XopR 对 XopR 可能在京丰一号以及中甘 XopR 有品种选择性的 XopR 和,有可能在京丰一号以及中甘 XopR 与

XopR 基因的毒性靶标。同时  $\Delta XopR$  接种中白 83 , 致病性显著下降 ,接种 XopRC 后该致病性得到恢复 ,说明 XopR 对 Xcc8004 在中白 83 上毒性也是必须的。

通过定位分析发现,XopR 定位于植物细胞膜上,并且可以抑制 flg22 诱导的 FRK1 基因表达 表明 XopR 可以抑制 PTI 信号通路的下游基因表达,这与 Xoo 中 XopR 的功能一致。然而,XopR 是否抑制 PTI 通路上游的信号转导、MAPK 激酶活性以及活性氧爆发等尚还需进一步研究。 XopR 定位在植物细胞膜上,很可能是通过与 PTI 通路上游的元件发生相互作用来发挥其功能的。研究发现一个现象,XopR 蛋白的表达在 Xec 中表现出 1 条 45 kD 左右的带,而在植物细胞内表现出 2 条带,这一现象与 Xec8004 的效应蛋白 AvrAC 非常相似。 AvrAC 在植物细胞内可以发生 UMP 修饰  $I^{16}$  ,也表现出 2 条带,因此,推测 XopR 效应蛋白在植物体内很有可能是被修饰了,然而,这种修饰是什么修饰,以及该修饰是否对 XopR 在植物体内的功能是必须的尚待进一步研究。

#### 参考文献:

- [1] 陈英, 谭碧玥, 黄敏仁. 植物天然免疫系统研究进展[J]. 南京林业大学学报(自然科学版), 2012, 36(1): 129-36.
- [2] JONES J D, DANGL J L. The plant immune system [J]. Nature, 2006, 444(7117): 323 329.
- [3] WILLIAMS PH. Black rot: a continuing threat to world crucifers [J]. Plant Disease , 1980 , 64(8): 736 42.
- [4] WANG L, TANG X, HE C. The bifunctional effector AvrXccC of Xanthomonas campestris pv. campestris requires plasma membrane-anchoring for host recognition [J]. Molecular plant pathology, 2007, 8(4):491-501.
- [5] JIANG B L, HE Y Q, CEN W J et al. The type III secretion effector XopXccN of Xanthomonas campestris pv. campestris is required for full virulence [J]. Research in microbiology, 2008, 159(3):216-20.
- [6] XU R Q, BLANVILLAIN S, FENG J X et al. AvrAC(Xcc8004), a type III effector with a leucine-rich repeat domain from Xanthomonas campestris pathovar campestris confers avirulence in vascular tissues of Arabidopsis thaliana ecotype Col-0 [J]. Journal of bacteriology, 2008, 190(1): 343-55.
- [7] TAN L , RONG W , LUO H et al. The Xanthomonas campestris effector protein XopD<sub>Xcc8004</sub> triggers plant disease tolerance by targeting DELLA proteins [J]. The New phytologist , 2014 , 204(3):595 –608.
- [8] ZHAO S, MO WL, WU F et al. Identification of non-TAL effectors in Xanthomonas oryzae pv. oryzae Chinese strain 13751 and analysis of their role in the bacterial virulence [J]. World journal of microbiology & biotechnology, 2013, 29(4):733-44.
- [9] FURUTANI A, TAKAOKA M, SANADA H, et al. Identification of novel type III secretion effectors in *Xanthomonas oryzae* pv. oryzae [J]. Molecular plant-microbe interactions: MPMI, 2009, 22(1):96 106.
- [10] AKIMOTO-TOMIYAMA C, FURUTANI A, TSUGE S et al. XopR, a type III effector secreted by Xanthomonas oryzae pv. oryzae, suppresses microbe-associated molecular pattern-triggered immunity in Arabidopsis thaliana [J]. Molecular plant-microbe interactions: MPMI, 2012, 25(4):505-14.
- [11] SAMBROOK J, FRITSCH EF, MANIATIS T. Molecular cloning: a laboratory manual [M]. 2nd ed. New York: Cold Spring Harbor Laboratory Press; 1989.
- [12] 李伟兰, 戎伟, 何朝族. 一个推测的野油菜黄单胞菌Ⅲ型分泌效应子基因 XopXccP 对寄主植物的致病性分析 [J]. 植物病理学报, 2014(2):173-9.
- [13] YOO S D , CHO Y H , SHEEN J. Arabidopsis mesophyll protoplasts: a versatile cell system for transient gene expression analysis [J]. Nature protocols , 2007 , 2(7):1565 72.
- [14] WENGELNIK K, VAN DEN ACKERVEKEN G, BONAS U. HrpG, a key hrp regulatory protein of *Xanthomonas campestris* pv. *vesicatoria* is homologous to two-component response regulators [J]. Molecular plant-microbe interactions: MPMI, 1996, 9(8):704-12.
- [15] DANGL JL, JONES JD. Plant pathogens and integrated defence responses to infection [J]. Nature, 2001, 411(6839): 826 33.
- [16] FENG F, YANG F, RONG W, et al. A *Xanthomonas* uridine 5'-monophosphate transferase inhibits plant immune kinases [J]. Nature, 2012, 485(7396): 114 8.

# The Functional Study of a Type III Effector Protein XopR in Xanthomonas campestris pv. campestris

ZHANG Qiaoling , RONG Wei , LI Huiping ,LIN Daozhe , HE Chaozu (Hainan Key Laboratory of Sustainable Utilization of Tropical bioresources , Hainan University , Haikou 570228 , China)

Abstract: Xanthomonas campestris pathovar campestris (Xcc) is the causal agent of black rot disease on cruciferous plants. Xcc deliver many effector proteins into host plant cells via the type  $\mathbb{II}$  secretion system to help its infection and multiplication. In this study, the expression and regulation of XopR gene were analyzed through qRT–PCR. The results showed that the XopR gene transcription was regulated by the type  $\mathbb{II}$  regulator of HrpG and HrpX, and the XopR protein secretion was type  $\mathbb{II}$  secretion system dependent, indicating that XopR was a type  $\mathbb{II}$  effector protein of Xcc8004. In addition, a XopR gene deletion mutant (Xcc8004  $\Delta XopR$ ) was generated, and the disease symptoms caused by  $\Delta XopR$  strain were decreased on Zhonggan15, Zhonggan21, Zhongbai83 in contrast with WT Xcc8004, suggesting that XopR was required for the full virulence of Xcc8004 on Cabbage host plants. Furthermore, XopR was proved to located in plant plasma membrane in Arabidopsis protoplasts cells by XopR-GFP fusion assay. The expression of PTI marker gene FRK1:: LUC was inhibited by XopR protein, which was consistent with the XopR function in Xoo strains.

**Key words**: Xcc8004; type **III** secretion system; XopR gene

(上接第249页)

# Chromosomal Localization and FISH Analysis of 45S rDNA on *Hevea* Clone Reyan 7-33-97

TANG Bingxia<sup>1,2</sup>, WANG Ying<sup>1</sup>, GAO Heqiong<sup>1</sup>, ZHUANG Nansheng<sup>1</sup>
(1. College of Agronomy, Hainan University / Hainan Key Laboratory for Sustainable Utilization of Tropical Bioresource, Haikou 570228, China;
2. Rubber Research Institute, Chinese Academy of Topical Agricultural Sciences, Danzhou 571737, China)

**Abstract**: The position and number of 45S rDNA on mitotic chromosomes of the young leaf collected from the rubber tree of Clone Reyan7-33-97 (*Hevea brasiliensis* Müll. Arg.) at the bronze leaf stage were detected by using fluorescence in situ hybridization (FISH) analysis with 45S rDNA from wheat as a probe. Four hybridization signals with different sizes and strength were found in different mitotic phases. According to the karyotype analysis, the loci of 4 signals were found on chromosomes pairs 6 and 7. A small faint signal was detected at the secondary constriction of one member of chromosome pair 6, and a large strong signal was detected at the secondary constriction and satellite of another member of chromosome pair 6. The other two signals with their sizes and strength between those of the members of chromosome pair 6 were all detected at the secondary constriction and satellite of chromosome pair 7.

Key words: Hevea brasiliensis; Reyan7-33-97; fluorescence in situ hybridization; 45S rDNA